

УДК 533.6.011.55

© 2007 г. И. Г. БРЫКИНА

## **АСИМПТОТИЧЕСКИЕ РЕШЕНИЯ ДВУМЕРНЫХ УРАВНЕНИЙ ТОНКОГО ВЯЗКОГО УДАРНОГО СЛОЯ В РАЗРЕЖЕННОМ ГАЗЕ**

Исследуется двумерное обтекание затупленных тел гиперзвуковым потоком разреженного газа в режиме течения, переходном от континуального к свободномолекулярному. В [1] путем асимптотического анализа выявлены три режима течения разреженного газа в зависимости от соотношения между определяющими параметрами задачи и исследован один из режимов. В данной работе получены асимптотические решения уравнений тонкого вязкого ударного слоя при малых числах Рейнольдса для двух других режимов обтекания. Получены аналитические выражения для коэффициентов теплопередачи, трения и давления в зависимости от параметров набегающего потока, геометрии и температуры обтекаемого тела; значения этих коэффициентов при стремлении числа Рейнольдса к нулю приближаются к их значениям в свободномолекулярном потоке. Определены параметры подобия гиперзвукового обтекания тел разреженным газом в различных режимах. Проведены сравнения асимптотических решений с результатами расчета методом прямого статистического моделирования Монте-Карло.

**Ключевые слова:** гиперзвуковое течение, разреженный газ, малые числа Рейнольдса, коэффициенты трения и теплопередачи, тонкий вязкий ударный слой, асимптотическое решение.

Задачи гиперзвуковой аэродинамики и теплообмена в потоках разреженных газов связаны с исследованием движения космических аппаратов, а также метеороидов, в верхних слоях атмосферы Земли. Такие задачи характеризуются большими числами Кнудсена  $K_p$  или малыми числами Рейнольдса  $Re$ , и континуальные модели течения, например уравнения Навье–Стокса, в основном не применимы для их решения, поскольку они дают физически неправильные значения коэффициентов теплопередачи и трения, превышающие их значения в свободномолекулярном потоке и беспрепятственно возрастающие при  $Re \rightarrow 0$ . Решение реальных двумерных и трехмерных задач гиперзвуковой аэродинамики и теплообмена в рамках уравнения Больцмана или его модельных уравнений до сих пор представляет собой очень сложную проблему, поэтому основным инструментом решения таких задач в переходном от континуального к свободномолекулярному режиме течения являются различные методы прямого статистического моделирования Монте-Карло. Однако ограничение применимости континуального подхода при малых числах  $Re$  в переходном режиме обтекания не исключает возможности использования континуальной модели для расчета таких параметров, как теплопередача и аэродинамические коэффициенты на поверхности тела. Обзор различных методов исследования гиперзвукового обтекания затупленных тел разреженным газом и оценка границ применимости разных континуальных моделей течения приведены в [2].

Для определения теплового потока, трения и давления на поверхности тела в переходном режиме обтекания в данной работе используется модель тонкого (гиперзвукового) вязкого ударного слоя. Эта модель была предложена в [3, 4] для исследования гиперзвуковых течений при умеренно больших числах  $Re$ . Там же отмечено, что данная модель в случае сильно охлажденной поверхности и линейной зависимости коэффициента вязкости от температуры в точке торможения осесимметричного тела дает для коэффициентов теплопередачи и трения свободномолекулярные пределы при уменьшении числа  $Re$ . В [2] на основе асимптотического анализа уравнений Навье–Стокса было по-

казано, что модель тонкого вязкого ударного слоя оказывается справедливой не только при больших, но и при малых числах  $Re$ , а также что эта модель дает правильные значения коэффициентов трения и теплопередачи в окрестности точки торможения затупленного тела в переходном к свободномолекулярному режиме обтекания. Применимость модели тонкого вязкого ударного слоя при определении трения и теплообмена на боковой поверхности тела исследована в [1], где на основании асимптотического анализа были выделены три режима течения в двумерном гиперзвуковом вязком ударном слое при малых числах  $Re$  в зависимости от соотношения между определяющими параметрами задачи, и было получено асимптотическое решение уравнений тонкого вязкого ударного слоя для режима I сильно охлажденной поверхности (в этом режиме из определяющих параметров задачи исчезает температура поверхности  $T_w$ ).

В данной работе, являющейся продолжением [1], рассматривается задача гиперзвукового обтекания затупленных тел разреженным газом в случае осесимметричных и плоских течений для двух других режимов – II и III. Уравнения тонкого вязкого ударного слоя при малых числах  $Re$  решаются с помощью метода последовательных приближений [5] и асимптотического разложения в ряды. Определены параметры подобия гиперзвукового обтекания тел разреженным газом для различных режимов. Получены асимптотические выражения для давления и коэффициентов теплопередачи и трения, которые дают правильные свободномолекулярные пределы при  $Re \rightarrow 0$ . При этом коэффициент трения определяется на основе строгой модели тонкого вязкого ударного слоя при нулевом продольном градиенте давления. Асимптотические решения, для оценки их точности и области применимости, сравниваются с имеющимися в литературе результатами расчета методом прямого статистического моделирования Монте-Карло. Полученные в работе аналитические решения могут найти применение в задачах аэродинамики и теплообмена космических аппаратов, а также в задачах аэротермобаллистики метеороидов [6].

**1. Постановка задачи.** Двумерное стационарное обтекание гладкого затупленного тела гиперзвуковым потоком вязкого разреженного газа рассматривается в рамках модели тонкого вязкого ударного слоя. Система уравнений тонкого вязкого ударного слоя в переменных Дородницына для плоских ( $v = 0$ ) и осесимметричных ( $v = 1$ ) течений имеет вид

$$\begin{aligned} \beta_1 u^2 + \xi u \frac{\partial u}{\partial \xi} - \left( \beta' f + \xi \frac{\partial f}{\partial \xi} \right) \frac{\partial u}{\partial \zeta} &= - \frac{\xi}{\rho \cos^2 \alpha} \frac{\partial p}{\partial \xi} + \frac{\partial}{\partial \zeta} \left( \frac{\mu \rho \xi}{\text{Re} \cos \alpha \Delta^2} \frac{\partial u}{\partial \zeta} \right) \\ \xi u \frac{\partial g}{\partial \xi} - \left( \beta' f + \xi \frac{\partial f}{\partial \xi} \right) \frac{\partial g}{\partial \zeta} &= \frac{\partial}{\partial \zeta} \left( \frac{\mu \rho \xi}{\sigma \text{Re} \cos \alpha \Delta^2} \frac{\partial}{\partial \zeta} \left( g - \frac{(1-\sigma) \cos^2 \alpha}{1-T_w} u^2 \right) \right) \\ \frac{\partial f}{\partial \zeta} = u, \quad \frac{\partial p}{\partial \zeta} = \frac{\Delta \cos^2 \alpha}{R} u^2, \quad \frac{1}{\rho} = \frac{\varepsilon T}{p} \\ \mu = T^\omega, \quad T = g(1-T_w) + T_w, \quad g = \frac{H-H_w}{H_\infty - H_w}, \quad H = c_p T_0 T + \frac{V_\infty \cos^2 \alpha u^2}{2} \end{aligned} \tag{1.1}$$

$$\xi = \frac{x}{R_0}, \quad \zeta = \frac{1}{\Delta R_0} \int_0^y \rho dy, \quad \Delta = \frac{1}{R_0} \int_0^{y_s} \rho dy, \quad y_s = \Delta R_0 \int_0^1 \frac{1}{\rho} d\zeta, \quad \varepsilon = \frac{\gamma-1}{2\gamma}, \quad \text{Re} = \frac{\rho_\infty V_\infty R_0}{\mu_0}$$

Здесь  $R(\xi)R_0$  – радиус кривизны контура тела,  $R_0$  – радиус кривизны в критической точке,  $\rho_\infty \rho$  – плотность,  $V_\infty \cos \alpha u$  и  $-V_\infty \sin \alpha v$  – касательная и нормальная составляющие скорости;  $\rho_\infty$  и  $V_\infty$  – плотность и скорость набегающего потока,  $\alpha$  – угол между касательной к контуру тела и скоростью набегающего потока;  $\mu_0 \mu$  – коэффициент вязкости,  $\mu_0$  – коэффициент вязкости, определяемый по температуре торможения набегающего потока  $T_0$ ;  $T_0 T$  – температура,  $T_0 T_w$  – температура поверхности,  $H$  – полная энталпия,  $g$  – приведенная энталпия,  $\rho_\infty V_\infty^2 p$  – давление;  $r_w R_0$  – расстояние от поверхности тела до оси симметрии,  $\gamma$  – отношение удельных теплоемкостей,  $\sigma$  – число Прандтля,  $Re$  – число Рейнольдса, определяемое по температуре торможения набегающего потока; индекс  $s$  соответствует значениям на ударной волне; ортогональная система координат  $x, y$  естественным образом связана с поверхностью обтекаемого тела:  $x$  – расстояние вдоль поверхности от точки торможения,  $y$  – расстояние от тела по нормали.

В качестве граничных условий на поверхности тела  $\zeta = 0$  берутся условия прилипания, на ударной волне  $\zeta = 1$  ( $y = y_s(x)$ ) – обобщенные условия Ренкина–Гюгонио:

$$\zeta = 0: u = 0, \quad g = 0, \quad f = 0$$

$$\begin{aligned} \zeta = 1: u &= 1 - \frac{\mu \rho}{Re \Delta \sin \alpha} \frac{\partial u}{\partial \zeta}, \quad p = \sin^2 \alpha, \quad f = \frac{r_w}{(1 + v) \Delta \cos \alpha} \\ g &= 1 - \frac{\mu \rho}{\sigma Re \Delta \sin \alpha} \frac{\partial u}{\partial \zeta} \left( g - \frac{1 - \sigma}{1 - T_w} \cos^2 \alpha u^2 \right) \end{aligned} \quad (1.2)$$

Уравнения тонкого вязкого ударного слоя (1.1) с граничными условиями (1.2) были впервые выведены из уравнений Навье–Стокса в [3, 4] при следующих условиях:  $\epsilon \ll 1$ ,  $Re \gg 1$ ,  $\epsilon Re = O(1)$ , т. е. при умеренно больших числах  $Re$ . Для малых чисел  $Re$  уравнения тонкого вязкого ударного слоя были выведены из уравнений Навье–Стокса в [2] в предположении малости введенного в работе параметра  $\chi = (\mu_s \rho_s^{-1} Re^{-1})^{1/2}$ , в пренебрежении членами  $O(\chi^2)$  и  $O(\chi)$ , за исключением члена с продольным градиентом давления, имеющего порядок  $\chi$ . Этот член является внепорядковым, но оставляется в уравнениях тонкого вязкого ударного слоя, поскольку играет существенную роль при больших числах  $Re$ . Асимптотически строгая модель тонкого вязкого ударного слоя – это уравнения (1.1) без внепорядкового члена с продольным градиентом давления в первом уравнении импульсов.

Коэффициенты трения и теплопередачи на поверхности определяются как

$$\begin{aligned} c_f &= \frac{2\tau}{\rho_\infty V_\infty^2} = \frac{2 \cos \alpha \mu \rho}{\Delta Re} \frac{\partial u}{\partial \zeta} \Big|_w, \quad c_H = \frac{q}{\rho_\infty V_\infty (H_\infty - H_w)} = \frac{\mu \rho}{\sigma \Delta Re} \frac{\partial g}{\partial \zeta} \Big|_w \\ \tau &= \left( \mu_0 \mu \frac{\partial (V_\infty \cos \alpha u)}{\partial y} \right)_w, \quad q = \left( \lambda \frac{\partial (T_0 T)}{\partial y} \right)_w \end{aligned} \quad (1.3)$$

**2. Рассматриваемые режимы течения разреженного газа.** В [1] были выделены три режима двумерного гиперзвукового обтекания тел разреженным газом (в зависимости от возможных соотношений  $g$  и  $T_w$ ):

$$\text{I: } \epsilon Re \gg T_w^{(1+\omega)} / \beta^* \quad \text{II: } \epsilon Re = O(T_w^{(1+\omega)} / \beta^*) \quad \text{III: } \epsilon Re \ll T_w^{(1+\omega)} / \beta^*$$

$$\beta^* = 2r_w / ((1 + v) \sin \alpha \cos \alpha)$$

Выбор режима, или выбор рассматриваемого диапазона чисел  $Re$  при заданных параметрах задачи  $\epsilon$ ,  $T_w$ ,  $\omega$ ,  $\beta^*$ , определяет оценку температуры при асимптотическом исследовании задачи при малых числах  $Re$ , которая для каждого из режимов будет иметь вид

I:  $T \sim g$ , II:  $T \sim g + T_w$ , III:  $T \sim T_w$ .

и соответственно оценку зависящих от температуры плотности и коэффициента вязкости.

В режиме I, соответствующем сильно охлажденной поверхности:  $T_w \ll (\varepsilon Re \beta^*)^{1/(1+\omega)}$ , температурный фактор  $T_w$  выпадает из определяющих параметров задачи. В данной работе исследуются режимы II и III, где учитывается зависимость течения от безразмерной температуры обтекаемой поверхности  $T_w$ .

Асимптотический анализ показывает, что при  $\varepsilon Re = o(1)$ : в режиме II:  $u_s, g_s = O((\varepsilon Re \beta^*)^{1/(1+\omega)})$ , в режиме III:  $u_s, g_s = O((\varepsilon Re T_w^{1-\omega} \beta^*)^{1/2})$

**3. Асимптотическое решение для режимов II и III.** Систему уравнений (1.1) с граничными условиями (1.2) будем решать интегральным методом последовательных приближений с помощью алгоритма, изложенного в [5]. Метод последовательных приближений позволяет получать как численное решение задачи путем вычисления достаточно большого числа приближений, так и приближенное аналитическое решение в первом приближении. В [5] было получено аналитическое решение уравнений тонкого вязкого ударного слоя для одного значения  $\omega = 1/2$ . Получим выражения для коэффициентов теплопередачи и трения  $c_H$  и  $c_f$  в первом приближении метода последовательных приближений для произвольных значений  $\omega$ , при задании нулевого приближения в виде линейных функций по поперечной координате  $\zeta$ . Коэффициент трения при этом будем определять, исходя из строгой модели тонкого вязкого ударного слоя без учета продольного градиента давления, поскольку именно эта модель соответствует малым числам  $Re$  и дает асимптотически правильное поведение коэффициента трения при стремлении числа  $Re$  к нулю, т.е. при переходе к свободномолекулярному течению. Опуская длинные выкладки, связанные с вычислением однократных и двойных интегралов при применении метода последовательных приближений, запишем полученные в результате этих выкладок выражения для  $c_H, c_f$

$$c_H = \Delta_H \frac{\beta_w \cos \alpha}{2\xi} a \left( 1 - \frac{2b}{3} \right) \quad (3.1)$$

$$c_f = \Delta_u \frac{\beta_w \cos^2 \alpha}{\xi} a \left[ 1 - \frac{2a}{3} \left( 1 + \frac{\beta_1}{\beta_w} \right) \right] \quad (3.2)$$

$$\Delta_H = \frac{-b_4 + \sqrt{b_4^2 + 4b_3}}{2b_3}, \quad \Delta_u = \frac{-a_4 + \sqrt{a_4^2 + 4a_3}}{2a_3} \quad (3.3)$$

$$b_4 = \frac{\operatorname{ctg} \alpha}{2\xi} \beta_w a (1 - b), \quad a_4 = \frac{\operatorname{ctg} \alpha}{2\xi} \beta_w a (1 - a) \quad (3.4)$$

$$b_3 = \frac{\cos \alpha}{\xi} \beta_w A_s(g), \quad a_3 = \frac{\cos \alpha}{\xi} (\beta_w A_s(u) + \beta_1 B_s(u)) \quad (3.5)$$

Здесь решение зависит от геометрических параметров и от функций  $A_s(g), A_s(u), B_s(u)$ ,  $a$  и  $b$ . Эти функции зависят от геометрии тела, параметров набегающего потока, температуры поверхности тела, а также от режима обтекания. Зависимость решения от режима обтекания обусловлена тем, что при малых числах Рейнольдса асимптотическая оценка температуры, а следовательно, и плотности и коэффициента вязкости определяется выбором режима (разд. 2). В данной работе гиперзвуковое течение разреженного газа рассматривается в диапазоне чисел  $Re$ :  $\varepsilon Re = o(1)$ .

В режиме III функции  $A_s(g)$ ,  $A_s(u)$ ,  $B_s(u)$  и функции  $a$  и  $b$  при  $\varepsilon Re = o(1)$  имеют вид

$$\begin{aligned} A_s(u) &= \frac{\varepsilon Re T_w^{1-\omega}}{2 \sin^2 \alpha} a \left(1 - \frac{3}{4} a\right), \quad B_s(u) = -\frac{\varepsilon Re T_w^{1-\omega}}{4 \sin^2 \alpha} a^2 \\ A_s(g) &= \frac{\sigma \varepsilon Re T_w^{1-\omega}}{2 \sin^2 \alpha} a \left(1 - \frac{3}{4} b\right) \end{aligned} \quad (3.6)$$

$$a = (\beta^* \varepsilon Re T_w^{1-\omega})^{1/2}, \quad b = \sigma a \quad (3.7)$$

Геометрический параметр  $\beta^*$  приведен в разд. 2.

В режиме II функции  $A_s(g)$ ,  $A_s(u)$ ,  $B_s(u)$  и функции  $a$  и  $b$  при  $\varepsilon Re = o(1)$  имеют вид

$$\begin{aligned} A_s(u) &= \frac{\varepsilon Re}{2 \sin^2 \alpha} ab^{1-\omega} (p_1 - ap_2), \quad B_s(u) = \frac{\varepsilon Re}{3 \sin^2 \alpha} ab^{1-\omega} a (p_4 - p_1) \\ A_s(g) &= \frac{\sigma \varepsilon Re}{2 \sin^2 \alpha} ab^{1-\omega} (p_1 - bp_2) \end{aligned} \quad (3.8)$$

$$\begin{aligned} p_1 &= \frac{(1+\lambda)^{2-\omega} - \lambda^{2-\omega}}{2-\omega}, \quad p_2 = \frac{2}{3}p_1 + \frac{1}{3}p_4, \quad p_4 = \frac{(1+\lambda)^{5-\omega} - \lambda^{5-\omega}}{5-\omega} - \\ &- 3\lambda \frac{(1+\lambda)^{4-\omega} - \lambda^{4-\omega}}{4-\omega} + 3\lambda^2 \frac{(1+\lambda)^{3-\omega} - \lambda^{3-\omega}}{3-\omega} - \lambda^3 \frac{(1+\lambda)^{2-\omega} - \lambda^{2-\omega}}{2-\omega} \end{aligned} \quad (3.9)$$

$$a = (\beta^* \varepsilon Re)^{1/(1+\omega)} \sigma^{(1-\omega)/(1+\omega)} (1+\lambda)^{(1-\omega)/(1+\omega)}, \quad b = \sigma a$$

Параметр  $\lambda$ , связанный с температурой поверхности тела  $T_w$ , определяется из уравнения

$$T_w = (\beta^* \varepsilon Re)^{1/(1+\omega)} \sigma^{2/(1+\omega)} \lambda (1+\lambda)^{(1-\omega)/(1+\omega)} \quad (3.10)$$

Таким образом, имеем замкнутую задачу определения коэффициента теплопередачи и коэффициента трения: для режима III – соотношения (3.1)–(3.5) и (3.6), (3.7), и для режима II – соотношения (3.1)–(3.5) и (3.8)–(3.10).

Рассмотрим сначала режим III. Используя (3.5), (3.6), (3.7), запишем выражения для  $a_3$  и  $b_3$

$$a_3 = \frac{\cos \alpha \beta_w}{2 \xi \sin^2 \alpha \beta^*} a^3 \left(1 - a \left(\frac{3}{4} + \frac{\beta_1}{2 \beta_w}\right)\right), \quad b_3 = \frac{\cos \alpha \beta_w}{2 \sigma^2 \xi \sin^2 \alpha \beta^*} b^3 \left(1 - \frac{3}{4} b\right) \quad (3.11)$$

Подставляя  $a_3$  и  $b_3$  из соотношений (3.11) и  $a_4$  и  $b_4$  из соотношений (3.4) в соотношения (3.3), получим выражения для функций  $\Delta_u$  и  $\Delta_H$  в зависимости от геометрических параметров, числа  $\sigma$  и параметров  $a$  и  $b$ , определяемых соотношениями (3.7). Считая параметр  $\varepsilon Re = o(1)$  и соответственно  $a = o(1)$  и раскладывая в полученных выражениях все функции в ряды по параметру  $a$ , получим асимптотические выражения для  $\Delta_u$  и  $\Delta_H$

$$\begin{aligned} \Delta_H &= \frac{2\xi \sin \alpha}{\cos \alpha \beta_w a} \left(1 + \sigma a \left(1 - \frac{(1+v)\xi \sin \alpha}{r_w \beta_w}\right) + O(a^2)\right) \\ \Delta_u &= \frac{2\xi \sin \alpha}{\cos \alpha \beta_w a} \left(1 + a \left(1 - \frac{(1+v)\xi \sin \alpha}{r_w \beta_w}\right) + O(a^2)\right) \end{aligned} \quad (3.12)$$

Подставив эти выражения в соотношения (3.1) и (3.2), с учетом (3.7), получим асимптотическое решение для коэффициентов теплопередачи и трения на боковой поверхности осесимметричных или плоских затупленных тел в зависимости от параметров  $\text{Re}$ ,  $\varepsilon$ ,  $\sigma$ ,  $\omega$ ,  $T_w$  и геометрии обтекаемой поверхности в режиме III:

$$\begin{aligned} c_H &= \sin \alpha \left[ 1 - \left( \frac{1+v}{\beta+v} - \frac{1}{3} \right) \sigma a \right] + O(a^2) \\ c_f &= 2 \sin \alpha \cos \alpha \left[ 1 - \left( \frac{1+v}{\beta+v} + \frac{2\beta}{3(\beta+v)} - \frac{1}{3} \right) a \right] + O(a^2) \\ a &= (\beta^* \varepsilon \text{Re} T_w^{1-\omega})^{1/2}, \quad \beta = \frac{r_w}{R \cos \alpha}, \quad \beta^* = \frac{2r_w}{(1+v) \sin \alpha \cos \alpha} \end{aligned} \quad (3.13)$$

Рассмотрим режим II. Используя (3.5), (3.8) и (3.9), запишем  $a_3$  и  $b_3$  в виде

$$\begin{aligned} a_3 &= \frac{\cos \alpha \beta_w p_1}{2\xi \sin^2 \alpha \beta^* (1+\lambda)^{1-\omega}} a^3 \left( 1 - a \left( \frac{p_1}{p_2} + \frac{2\beta_1}{3\beta_w} \left( \frac{p_4}{p_1} - 1 \right) \right) \right) \\ b_3 &= \frac{\cos \alpha \beta_w p_1}{2\sigma^2 \xi \sin^2 \alpha \beta^* (1+\lambda)^{1-\omega}} b^3 \left( 1 - \frac{p_1}{p_2} b \right) \end{aligned} \quad (3.14)$$

Как и в случае режима III, подставим  $a_3$  и  $b_3$  из соотношений (3.14) и  $a_4$  и  $b_4$  из соотношений (3.4) в соотношения (3.3) для функций  $\Delta_u$  и  $\Delta_H$ . В полученных выражениях, зависящих от геометрии и температуры поверхности тела, числа  $\sigma$  и параметров  $a$  и  $b$  (определенными соотношениями (3.9)), разложим все функции в ряды по параметру  $a$ , который считаем малым:  $a = o(1)$ . Опуская длинные выкладки, запишем полученные в результате асимптотические выражения для  $\Delta_u$  и  $\Delta_H$  в режиме II

$$\begin{aligned} \Delta_H &= \frac{2\xi \sin \alpha}{\cos \alpha \beta_w a} \left( 1 + \sigma a \left( 1 - \frac{(1+v)\xi \sin \alpha p_1}{r_w \beta_w (1+\lambda)^{1-\omega}} \right) + O(a^2) \right) \\ \Delta_u &= \frac{2\xi \sin \alpha}{\cos \alpha \beta_w a} \left( 1 + a \left( 1 - \frac{(1+v)\xi \sin \alpha p_1}{r_w \beta_w (1+\lambda)^{1-\omega}} \right) + O(a^2) \right) \end{aligned} \quad (3.15)$$

Асимптотическое решение для коэффициентов теплопередачи и трения на боковой поверхности осесимметричных или плоских затупленных тел в режиме II, с учетом соотношений (3.1), (3.2), (3.9), (3.15), будет иметь вид

$$\begin{aligned} c_H &= \sin \alpha \left[ 1 - \left( \frac{(1+v)p_1}{(\beta+v)(1+\lambda)^{1-\omega}} - \frac{1}{3} \right) \sigma a \right] + O(a^2) \\ c_f &= 2 \sin \alpha \cos \alpha \left[ 1 - \left( \frac{(1+v)p_1}{(\beta+v)(1+\lambda)^{1-\omega}} + \frac{2\beta}{3(\beta+v)} - \frac{1}{3} \right) a \right] + O(a^2) \\ p_1 &= \frac{(1+\lambda)^{2-\omega} - \lambda^{2-\omega}}{2-\omega}, \quad a = (\beta^* \varepsilon \text{Re})^{1/(1+\omega)} \sigma^{(1-\omega)/(1+\omega)} (1+\lambda)^{(1-\omega)/(1+\omega)} \end{aligned} \quad (3.16)$$

Здесь параметр  $\lambda$ , связанный с поверхностной температурой  $T_w$ , определяется из уравнения (3.10).

Для распределения давления на поверхности аналогичным образом были получены приближенные решения для режимов II и III, эти решения приведены в следующем разделе.

**4. Общий вид решения для коэффициентов теплопередачи, трения и давления во всех трех режимах обтекания. Параметры подобия.** Объединив полученные выше решения для коэффициентов теплопередачи, трения и давления для режимов III и II и решение, полученное для режима I – соотношения (3.8)–(3.10) работы [1], запишем решение в общем для всех трех режимов виде.

Коэффициенты теплопередачи, трения и давления на боковой поверхности осесимметричных ( $v = 1$ ) или плоских ( $v = 0$ ) затупленных тел, обтекаемых гиперзвуковым потоком разреженного газа, зависят от газодинамических параметров  $Re$ ,  $\epsilon$ ,  $\sigma$ ,  $\omega$ , геометрических параметров  $\alpha$ ,  $r_w$ ,  $R$ ,  $v$  и температуры поверхности  $T_w$  следующим образом:

$$c_H = \sin \alpha \left[ 1 - \left( \frac{1+v}{\beta+v} \phi - \frac{1}{3} \right) \sigma \tau \right] + O(\tau^2) \quad (4.1)$$

$$c_f = 2 \sin \alpha \cos \alpha \left[ 1 - \left( \frac{1+v}{\beta+v} \phi + \frac{2\beta}{3(\beta+v)} - \frac{1}{3} \right) \tau \right] + O(\tau^2) \quad (4.2)$$

$$p_w = \sin^2 \alpha - \frac{2r_w \cos \alpha}{3(1+v)R} \tau + O(\tau^2) \quad (4.3)$$

$$\text{I: } \tau = (\sigma^{1-\omega} \epsilon Re \beta^*)^{1/(1+\omega)}, \quad \phi = \frac{1}{2-\omega} \quad (4.4)$$

$$\text{III: } \tau = (\epsilon Re T_w^{1-\omega} \beta^*)^{1/2}, \quad \phi = 1 \quad (4.5)$$

$$\text{II: } \tau = (\sigma^{1-\omega} \epsilon Re \beta^*)^{1/(1+\omega)} (1+\lambda)^{(1-\omega)/(1+\omega)}, \quad \phi = \frac{(1+\lambda)^{2-\omega} - \lambda^{2-\omega}}{(2-\omega)(1+\lambda)^{1-\omega}} \quad (4.6)$$

$$T_w = (\sigma^2 \epsilon Re \beta^*)^{1/(1+\omega)} \lambda (1+\lambda)^{(1-\omega)/(1+\omega)}$$

$$\beta = \frac{r_w}{R \cos \alpha}, \quad \beta^* = \frac{2r_w}{(1+v) \sin \alpha \cos \alpha} \quad (4.7)$$

$$\lim_{Re \epsilon \rightarrow 0} c_H = \sin \alpha, \quad \lim_{Re \epsilon \rightarrow 0} c_f = 2 \sin \alpha \cos \alpha, \quad \lim_{Re \epsilon \rightarrow 0} p_w = \sin^2 \alpha$$

Режим I ( $T_w \ll (\epsilon Re \beta^*)^{1/(1+\omega)}$ ) соответствует сильно охлажденной поверхности, и решение в этом случае не зависит от  $T_w$ . Режим I можно рассматривать как предельный случай режима II при  $\lambda \rightarrow 0$ .

При стремлении числа  $Re$  к нулю (при  $\epsilon Re \rightarrow 0$ ), значения коэффициентов теплопередачи, трения и давления стремятся к их значениям в свободномолекулярном потоке, равным  $\sin \alpha$ ,  $2 \sin \alpha \cos \alpha$  и  $\sin^2 \alpha$  соответственно, при единичном коэффициенте аккомодации [7], при этом для давления получается распределение давление по Ньютону.

Из соотношений (4.1)–(4.7) видно, что коэффициенты теплопередачи, трения и давления зависят от газодинамических параметров  $\epsilon$  и  $Re$  только через параметр  $\tau$ , который можно рассматривать как параметр подобия задачи. В каждом режиме имеется свой параметр подобия  $\tau$ , зависящий от параметров набегающего потока  $Re$ ,  $\epsilon$ ,  $\omega$ ,  $\sigma$ ,  $T_w$  (газодинамическая часть) и геометрического параметра  $\beta^*$  (коэффициент теплопередачи зависит от  $\beta^* = \sigma \tau$ ). Параметр  $\tau$ , по которому фактически проводятся асимптотические разложения, характеризует разреженность потока, а также область применимости асимптотического решения. Газодинамическая часть параметра  $\tau$  определяет разреженность потока вблизи точки торможения, где  $\beta^* = 2/(1+v)$ ; с увеличением расстояния от

точки торможения поток уплотняется, аналитически это выражается в том, что геометрический параметр  $\beta^*$  увеличивает параметр разреженности  $\tau$ .

Коэффициенты  $c_H$  и  $c_f$  зависят от определяющих параметров течения также через параметр  $\phi$ , который, как и параметр  $\tau$ , определяется для каждого режима по-своему. Таким образом, в режиме I коэффициенты трения и теплопередачи зависят от параметра  $\tau$ , показателя  $\omega$  ( $\mu = T^\omega$ ) и геометрии тела. В режиме III коэффициенты трения и теплопередачи зависят только от параметра  $\tau$  и геометрии тела, т.е. в режиме III коэффициенты  $c_H$  и  $c_f$  зависят от газодинамических параметров  $Re$ ,  $\varepsilon$ ,  $\sigma$ ,  $\omega$  и температуры поверхности  $T_w$ , только через параметр подобия  $\tau$ .

При  $\omega = 1$  решения для всех трех режимов совпадают. Это решение определяется по формулам (4.1)–(4.3), где  $\tau = (\varepsilon Re \beta^*)^{1/2}$ ,  $\phi = 1$ .

При  $\omega = 1$  параметр подобия  $\tau$  совпадает с параметром Ченга  $K = (\varepsilon Re)^{1/2}$  [3, 4], за тем исключением, что параметр  $\tau$  включает в себя еще и геометрический параметр, т.е. учитывает влияние геометрии на разреженность течения. Однако в точке торможения осесимметричного тела параметр  $\tau$  и параметр Ченга полностью совпадают при  $\omega = 1$ . В общем случае, параметр  $\tau$ , в отличие от параметра Ченга, кроме геометрии тела учитывает влияние показателя  $\omega$  и температуры стенки  $T_w$ .

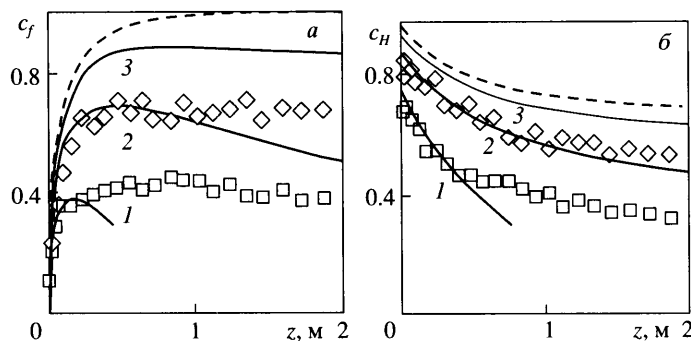
Формулы (4.1), (4.2) получены из решения системы уравнений тонкого вязкого ударного слоя (1.1); в эту систему уравнений входит уравнение импульсов в направлении  $\zeta$ , нормальном к телу, это уравнение служит для определения давления. Если не использовать это уравнение, а оставить давление неопределенным, или считать его известной откуда-либо функцией, и проделать всю процедуру получения решения с этим условием, тогда получим решение, зависящее от давления, которое имеет вид

$$c_H = \sin \alpha \left[ 1 - \left( \frac{1 + v \sin^2 \alpha}{\beta + v} \phi - \frac{1}{3} \right) \sigma \tau \right] + O(\tau^2)$$

$$c_f = 2 \sin \alpha \cos \alpha \left[ 1 - \left( \frac{1 + v \sin^2 \alpha}{\beta + v} \phi + \frac{2\beta}{3(\beta + v)} - \frac{1}{3} \right) \tau \right] + O(\tau^2)$$

**5. Обсуждение результатов.** Для оценки точности и области применимости полученных аналитических решений для коэффициентов теплопередачи и трения в переходном от континуального к свободномолекулярному режиме течения, проводились сравнения с результатами расчетов методом прямого статистического моделирования Монте-Карло. Параметры набегающего потока соответствовали траектории входа в атмосферу Земли космического аппарата Space Shuttle (фиг. 1–3). На фиг. 1 приведены распределения коэффициентов  $c_H$  (а) и  $c_f$  (б) вдоль поверхности гиперболоида с углом полураскрытия  $42.50^\circ$  и  $R_0 = 1.36$  м,  $T_w = 0.02$ – $0.03$ , моделирующего линию растекания Shuttle, полученные из асимптотического решения ( $\gamma = 1.25$ ,  $\omega = 0.75$ ,  $\sigma = 0.71$ ) и из расчетов методом [8] на высотах 109.75 и 122.5 км. Здесь же приведено асимптотическое решение для высоты 150 км, а также решение в свободномолекулярном режиме обтекания.

На высоте 122.5 км аналитическое решение для коэффициента теплопередачи хорошо согласуется с решением [8], полученным методом Монте-Карло, в то время как аналитическое решение для коэффициента трения согласуется с решением [8] только до значений  $z \approx 1.5$  м ( $\xi \approx 2.2$ ) ( $z$  – расстояние от точки торможения вдоль оси симметрии в метрах,  $\xi$  – безразмерное расстояние вдоль поверхности). На высоте 109.75 км аналитическое решение и для коэффициента теплопередачи, и для коэффициента трения согласуется с решением [8] только при небольшом удалении от точки торможения (для  $c_H$  – при  $\xi \leq 1$ , для  $c_f$  – при  $\xi \leq 0.7$ ). Эти расхождения связаны с тем, что с увеличением расстояния от точки торможения предположение о малости  $\tau$  начинает нарушаться из-за влияния геометрического параметра  $\beta^*$  (уплотнение потока), и асимптотическое реше-



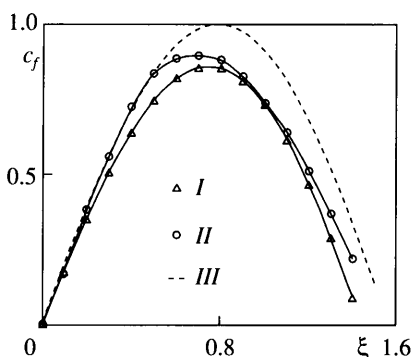
Фиг. 1. Распределение коэффициентов трения (а) и теплопередачи (б) на поверхности  $42.5^\circ$  гиперболоида от расстояния от точки торможения вдоль оси симметрии  $z$ . Точки – расчеты методом Монте-Карло [8], сплошные линии – асимптотическое решение, 1–3 соответствует высотам 109.75, 122.5, 150 км возвратной траектории Shuttle,  $V_\infty = 7.5$  км/с; штриховые линии – свободномолекулярное течение

ние становится неправомерным. Так, на высоте 109.75 км при изменении  $z$  от 0 до 2 м (соответственно  $\xi$  – от 0 до 2.7) параметр  $\tau$  меняется от 0.52 до 1.22, и ясно, что при  $\tau \sim 1$  и  $\tau > 1$  асимптотическое решение неправомерно. На высоте 122.5 км параметр  $\tau$  меняется от 0.18 до 0.42. На высоте 150 км  $\tau$  меняется от 0.05 до 0.12, и поэтому аналитическое решение должно давать достаточно точные результаты.

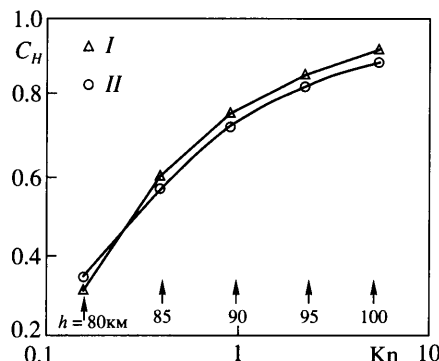
С увеличением высоты полета или увеличением разреженности (уменьшением числа  $Re$ ) аналитическое решение для коэффициентов трения и теплопередачи приближается к решению в свободномолекулярном потоке. В целом для рассматриваемых параметров ( $V_\infty = 7.5$  км/с,  $R_0 = 1.36$  м), как показывают сравнения, аналитическое решение приемлемо в окрестности точки торможения на высотах более 100 км; и чем больше высота полета, тем на все более далеких расстояниях от точки торможения справедливо асимптотическое решение. При этом решение для коэффициента теплопередачи согласуется с решением, полученным методом Монте-Карло, на большем расстоянии от точки торможения, чем решение для коэффициента трения, возможно, потому, что коэффициент трения более сложным образом зависит от  $\tau$ , а возможно, из-за неточности определения распределения давления, поскольку при малых числах  $Re$  продольный градиент давления гораздо сильнее влияет на коэффициент трения, чем на коэффициент теплопередачи.

На фиг. 2 показано сравнение аналитического решения для коэффициента трения с результатами расчетов методом Монте-Карло [9] для сферы с  $R_0 = 0.0254$  м,  $T_w = 0.07$ , параметры набегающего потока соответствуют высоте 100 км возвратной траектории Shuttle,  $V_\infty = 7.5$  км/с.

На фиг. 3 демонстрируется сравнение асимптотического решения для коэффициента теплопередачи в точке торможения цилиндрического тела с  $R_0 = 0.0254$  м,  $T_w = 0.07$ , с результатами расчетов методом Монте-Карло [10] вдоль возвратной траектории Shuttle на высотах 80–100 км в зависимости от числа Кнудсена  $Kn$  в набегающем потоке,  $V_\infty = 7.5$  км/с. Асимптотическое решение уравнений тонкого вязкого ударного слоя хорошо согласуется с результатами расчетов методом Монте-Карло вплоть до 80 км. Значительно меньшее значение радиуса кривизны в точке торможения на фиг. 2, 3, по сравнению с фиг. 1, ведет к уменьшению числа  $Re$  и параметра  $\tau$ , соответствующих той же высоте, и соответственно к расширению области применимости асимптотического решения до более низких высот. При этом, как показывают многочисленные сравнения,



Фиг. 2



Фиг. 3

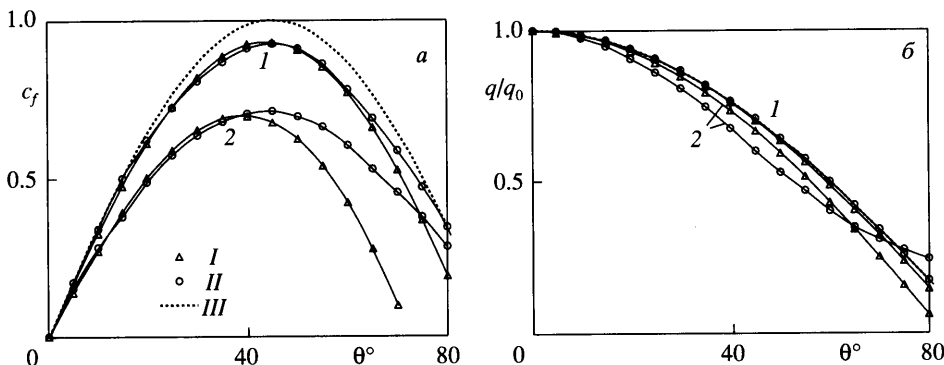
Фиг. 2. Распределение коэффициента трения по сфере в зависимости от безразмерного расстояния от точки торможения вдоль поверхности  $\xi$ : I и II – асимптотическое решение и расчеты методом Монте-Карло [9] на высоте 100 км возвратной траектории Shuttle; III – свободномолекулярное течение

Фиг. 3. Коэффициент теплопередачи в точке торможения цилиндрического тела в зависимости от числа Кнудсена Kn в набегающем потоке на высотах 80–100 км возвратной траектории Shuttle: I и II – асимптотическое решение и расчеты методом Монте-Карло [10]

решение для коэффициента передачи обладает достаточно хорошей точностью, несмотря на то, что параметр  $\tau$  может стать  $\sim 1$ .

На фиг. 4 проводится сравнение асимптотического решения для коэффициента трения (a) и теплового потока, отнесенного к его значению в точке торможения (б), с результатами расчетов методом прямого статистического моделирования Монте-Карло [11] обтекания наветренной стороны сферы гиперзвуковым потоком разреженного одноатомного газа при использовании молекулярной модели твердых сфер,  $\gamma = 5/3$ ,  $\omega = 0.5$ ,  $\sigma = 0.71$ . При  $Re = 1$  асимптотическое решение для коэффициента трения согласуется с решением, полученным методом Монте-Карло, до значений угла  $\theta = \pi/2 - \alpha \approx 50^\circ$ , а для теплового потока – до значений  $\theta \approx 70^\circ$ . При  $Re = 0.1$  асимптотическое решение для коэффициента трения хорошо согласуется с решением, полученным методом Монте-Карло, вплоть до угла  $\theta \approx 70^\circ$ , а три решения для относительного теплового потока – свободномолекулярное, полученное методом Монте-Карло, и асимптотическое – практически совпадают.

**Заключение.** Получены асимптотические решения двумерных уравнений тонкого вязкого ударного слоя при малых числах Рейнольдса  $Re$  для разных режимов гиперзвукового обтекания затупленных тел разреженным газом. Даны простые аналитические выражения для расчета коэффициентов теплопередачи, трения и давления в зависимости от определяющих параметров задачи: числа  $Re$ ,  $\epsilon = (\gamma - 1)/2\gamma$  ( $\gamma$  – отношение удельных теплоемкостей), показателя степени  $\omega$  (при  $\mu \sim T^{\omega}$ ), температуры поверхности  $T_w$  и геометрии обтекаемого тела. Эти коэффициенты при стремлении числа  $Re$  к нулю приближаются к своим значениям в свободномолекулярном потоке (при коэффициенте аддоминации, равном единице). Найдены параметры подобия для каждого режима обтекания, характеризующие разреженность потока и определяющие правомерность асимптотического решения. Проведенные сравнения с результатами расчетов методом прямого статистического моделирования Монте-Карло в переходном от континуальному к свободномолекулярному режиме обтекания позволили оценить точность и об-



Фиг. 4. Зависимость коэффициента трения ( $a, T_w = 0.01$ ) и относительного теплового потока ( $b, T_w = 0.1$ ) на сфере от угла  $\theta = \pi/2 - \alpha$ ; I и II – асимптотическое решение и расчеты методом Монте-Карло [11]; I и 2 соответствует  $Re = 0.1$  и 1; III – свободномолекулярное течение

ласть применимости полученных аналитических решений для коэффициентов трения и теплопередачи.

Автор выражает благодарность Г.А. Тирскому за полезные обсуждения.

Работа выполнена при поддержке грантов: “Научные школы” – НШ-835.2006.1 и РФФИ (№ 06-01-00695).

#### СПИСОК ЛИТЕРАТУРЫ

- Брыкина И.Г. Асимптотическое решение двумерных уравнений тонкого вязкого ударного слоя в разреженном газе для холодной поверхности // Изв. РАН. МЖГ. 2006. № 4. С. 164–172.
- Брыкина И.Г., Рогов Б.В., Тирский Г.А. Континуальные модели разреженных потоков газа в задачах гиперзвуковой аэродинамики // ПММ. 2006. Т. 70. Вып. 6. С. 992–1018.
- Cheng H.K. Hypersonic shock-layer theory of the stagnation region at low Reynolds Number // Proc. Heat Transfer and Fluid Mech. Inst. Stanford, Calif.: Stanford Univ. Press, 1961. P. 161–175.
- Cheng H.K. The Blunt Body Problem in Hypersonic Flow at Low Reynolds Number // IAS Paper. 1963. № 63–92. 100 р.
- Брыкина И.Г. Интегрирование уравнений гиперзвукового вязкого ударного слоя методом последовательных приближений // Журн. вычисл. математики и мат. физики. 1978. Т. 18. № 1. С. 154–166.
- Khanikaeva D.Yu., Tirskiy G.A. A meteoroid ballistics in the nonisothermal atmosphere // Acta Astronautica. 2005. V. 57. Is. 10. P. 811–817.
- Хейз У.Д., Пробстин Р.Ф. Теория гиперзвуковых течений. М.: Изд-во иностр. лит., 1962.
- Moss J.N., Bird G.A. Direct simulation of transitional flow for hypersonic reentry conditions // AIAA Paper. 1984. № 84-0223. 14 р.
- Moss J.N., Cuda V.J., Simmonds A.L. Nonequilibrium Effects for Hypersonic Transitional Flows // AIAA Paper. 1987. № 87-0404.
- Cuda V.J., Moss J.N. Direct Simulation of Hypersonic Flows Over Blunt Wedges // J. Thermophysics. 1987. V. 1. № 2. P. 97–104.
- Николаев К.В. Распределенные аэродинамические и тепловые характеристики обтекания сферы гиперзвуковым потоком разреженного газа // Труды IX Всесоюз. конф. по динамике разреженных газов. 1987. Т. 1. С. 130–135.